

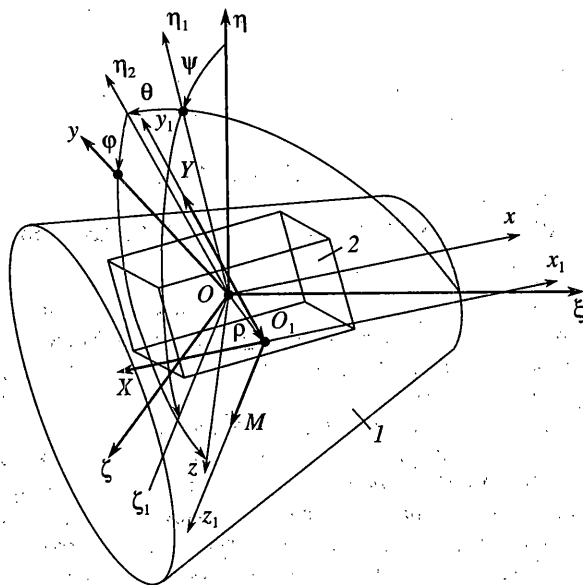
© 2005 г. В.С. АСЛАНОВ

## ДВИЖЕНИЕ ВРАЩАЮЩЕГОСЯ ТЕЛА В СОПРОТИВЛЯЮЩЕЙСЯ СРЕДЕ

В нелинейной постановке рассматривается движение вращающегося твердого тела в сопротивляющейся среде под действием синусоидального или бигармонического восстанавливающего момента, зависящего от времени, и малых возмущающих моментов. Приведены факторы, определяющие возмущения, в виде медленно меняющихся параметров и параметров малой асимметрии. Даны решения уравнений невозмущенного движения в эллиптических функциях Якоби. Для случая, когда нутационный момент определяется бигармонической зависимостью от угла нутации, уравнения невозмущенного движения записаны в переменных действие-угол, которые выражены через полные эллиптические интегралы. Построены усредненные уравнения движения осесимметричного тела при действии бигармонического и малых демпфирующих моментов. Уравнения возмущенного движения асимметричного тела приведены к стандартной двухчастотной системе, и построена частично усредненная система. Получены необходимые и достаточные условия устойчивости нелинейных резонансов и устойчивости движения системы по Ляпунову в окрестности стационарной точки под действием малых возмущений. Приведен численный пример, в котором показано, что из устойчивости резонанса не следует устойчивость движения в окрестности стационарной точки и наоборот.

**1. Тело в сопротивляющейся среде. Уравнения возмущенного движения.** Развитием классической задачи о движении тяжелого твердого тела вокруг неподвижной точки в случае Лагранжа является задача о движении твердого тела в сопротивляющейся среде. Примером такого тела является космический аппарат (КА), спускающейся в атмосфере планеты. Если КА является идеальным телом вращения как в динамическом, так и в геометрическом смысле и восстанавливающий аэродинамический момент пропорционален синусу пространственного угла атаки – угла нутации, то движение тела в атмосфере описывается теми же уравнениями, что и волчок Лагранжа [1]. Различие заключается лишь в том, что множитель перед синусом угла нутации есть медленно меняющаяся величина, а не постоянная, как в случае Лагранжа. Задача существенно усложняется, если рассматривать более общий случай, когда тело имеет малую динамическую асимметрию, точка приложения аэродинамических сил и моментов находится на оси симметрии геометрической формы, а центр масс тела смешен с этой оси (фиг. 1). Тело в потоке можно представить как совокупность двух тел с различными свойствами (фиг. 1): внутреннее тело 2, имеющее массу, и внешнее тело 1, не обладающее массой, с заданной геометрической формой. Эти тела жестко связаны и образуют единое твердое тело с геометрическими характеристиками внешнего тела и динамическими характеристиками внутреннего тела. Аэродинамические силы и моменты определяются внешним телом, а инерционно-динамические характеристики тела – внутренним телом.

Для описания движений тела в потоке необходимо ввести в рассмотрение три системы координат (фиг. 1): систему  $Oxyz$ , связанную с внутренним телом и осью дина-



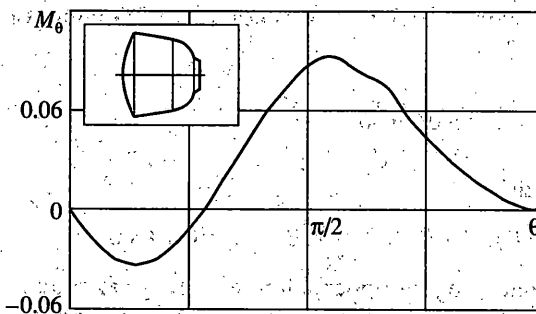
Фиг. 1

мической симметрии; систему  $O_1x_1y_1z_1$ , связанную с внешним телом, в которой задаются аэродинамические силы и моменты; систему координат  $O\xi\eta\zeta$  с поступательно движущимися осями. Связанная система координат  $Oxyz$  имеет начало в центре масс твердого тела; ось  $Ox$  – ось динамической симметрии. Система  $Oxyz$  расположена так, что центробежный момент инерции тела  $I_{yz} = 0$ . Система координат  $O_1x_1y_1z_1$  связана с плоскостью угла нутации  $\theta$ . Точка  $O_1$  лежит в некоторой фиксированной точке геометрической оси симметрии тела. Связанная система  $Oxyz$  повернута относительно системы  $O_1x_1y_1z_1$  на угол собственного вращения  $\varphi$ . Точка  $O_1$  в связанной системе  $Oxyz$  определяется вектором  $p(x_c, y_c, z_c)$ . Связь между системой координат  $O\xi\eta\zeta$  и связанной системой  $Oxyz$  осуществляется с помощью углов Эйлера  $\psi, \theta, \varphi$ .

Асимметрия проявляется в несовпадении точки  $O_1$  приложения аэродинамических сил и моментов с центром масс. Поперечное смещение точки  $O_1$  относительно центра масс ( $y_c \neq 0, z_c \neq 0$ ) вызывает появление дополнительных моментов от аэродинамических сил  $X$  и  $Y$  (фиг. 1). Различие поперечных моментов инерции тела ( $I_y \neq I_z$ ) и перекос главных центральных осей инерции относительно осей связанной системы координат ( $I_{xy} \neq 0, I_{xz} \neq 0$ ) также является причиной асимметрии.

Вектору асимметрии  $\Delta\xi$  припишем порядок малости  $\varepsilon$ :  $\Delta\xi = (\bar{y}_c, \bar{z}_c, \bar{\Delta}, \bar{I}_{xy}, \bar{I}_{xz}, \Delta m_x, \Delta m_y, \Delta m_z) = O(\varepsilon)$ , где  $\bar{y}_c = y_c/L, \bar{z}_c = z_c/L$  – относительное поперечное смещение центра масс с геометрической осью симметрии ( $L$  – характерный размер тела, например, диаметр);  $\bar{\Delta} = (I_z - I_y)/I$  – безразмерная разность поперечных моментов инерции ( $I = (I_y + I_z)/2$ );  $\bar{I}_{xy} = I_{xy}/I, \bar{I}_{xz} = I_{xz}/I$  – безразмерные центробежные моменты;  $\Delta m_x, \Delta m_y, \Delta m_z$  – коэффициенты малых возмущающих аэродинамических моментов.

Пусть на тело в потоке действуют следующие моменты: восстанавливающий момент, малые демпфирующие моменты, пропорциональные проекциям угловой скорости, и малые возмущающие моменты, вызванные асимметрией формы. Восстанавливающий момент является нечетной функцией угла нутации  $\theta$  и может



Фиг. 2

быть представлен для весьма широкого класса форм тел в виде бигармонической зависимости:

$$M = M_\theta I = (a \sin \theta + b \sin 2\theta) I \quad (1.1)$$

Синусоидальная характеристика ( $b = 0$ ) описывает тела близкие по форме к сфере или к тонкому конусу [2], однако если тело имеет более сложную форму, допускающую наличие балансировочного положения, отличного от значений  $\theta = 0, \pi$  (фиг. 2), то следует использовать бигармоническую зависимость (1.1). Если восстановливающий момент тела аппроксимировать нечетным рядом Фурье с числом членов  $n > 2$ , когда коэффициенты при гармониках с номерами  $n > 2$  малы по сравнению с  $a$  или  $b$ , то эти члены могут быть включены в малые возмущающие моменты.

Известно, что для случая Лагранжа обобщенные импульсы, соответствующие углам собственного вращения и прецессии, являются первыми интегралами системы и представляют собой проекции кинетического момента на ось симметрии тела и ось прецессии [3]. Имея в виду, что при движении тела в потоке ось прецессии совпадает с направлением вектора поступательной скорости, представим указанные обобщенные импульсы, отнесенные к среднему поперечному моменту инерции  $I$ , в следующем виде:

$$R = \bar{I}_x \omega_x, \quad G = R \cos \theta + (-\omega_y \cos \varphi + \omega_z \sin \varphi) \sin \theta \quad (1.2)$$

где  $\omega = (\omega_x, \omega_y, \omega_z)$  – вектор угловой скорости в проекциях на оси системы  $Oxyz$ ;  $\bar{I}_x = I_x/I$  – безразмерный момент инерции тела относительно оси  $Ox$ .

В силу действующих малых возмущений величины  $R$  и  $G$  будут медленно изменяться во времени. Выбирая их в качестве новых переменных, уравнения движения тела в потоке представим в виде [4]:

$$\begin{aligned} \ddot{\theta} + (R - G \cos \theta)(G - R \cos \theta)/\sin^3 \theta - M_\theta(\theta, z) &= \varepsilon \Phi_\theta(\theta, \varphi, z) \\ \ddot{\varphi} = R/\bar{I}_x - (G - R \cos \theta) \cos \theta / \sin^2 \theta &= \Phi_\varphi(\theta, z) \\ \ddot{\psi} = (G - R \cos \theta) / \sin^2 \theta &= \Phi_\psi(\theta, z) \end{aligned} \quad (1.3)$$

$$\dot{z} = \varepsilon \Phi_z(\theta, \varphi, z)$$

$$\varepsilon \Phi_v(\theta, \varphi, z) = D_0^v(\theta, z) + D_1^v(\theta, z) \sin \varphi + D_2^v(\theta, z) \cos \varphi + D_3^v(\theta, z) \sin 2\varphi + D_4^v(\theta, z) \cos 2\varphi \quad (1.4)$$

где  $\varepsilon$  – малый параметр,  $\mathbf{z} = (R, G, q)$  – вектор медленно меняющихся функций,  $q$  – скоростной напор (динамическое давление набегающего потока),  $D_i^v(\theta, z)$  – известные функции.

**2. Невозмущенное движение.** При  $\epsilon = 0$  система (1.3) приобретает вид:

$$\dot{\theta} + F(\theta, z) = 0 \quad (2.1)$$

$$\dot{\phi} = R/\bar{I}_x - (G - R\cos\theta)\cos\theta/\sin^2\theta$$

$$\dot{\psi} = (G - R\cos\theta)/\sin^2\theta \quad (2.2)$$

$$F(\theta, z) = (R - G\cos\theta)(G - R\cos\theta)/\sin^3\theta - (a\sin\theta + b\sin 2\theta)$$

Очевидно, что уравнение для пространственного угла атаки интегрируется независимо от двух других уравнений системы (2.1) и при известном общем решении этого уравнения два остальных уравнения интегрируются в квадратурах.

Первому уравнению системы (2.1) соответствует интеграл энергии:

$$\dot{\theta}^2/2 + W(\theta, z) = E \quad (2.3)$$

$$W(\theta, z) = \int F(\theta, z) d\theta = (G^2 + R^2 - 2GR\cos\theta)/(2\sin^2\theta) + a\cos\theta + b\cos^2\theta \quad (2.4)$$

Рассмотрим случай, когда восстанавливающий момент (1.1) зависит только от синуса угла нутации ( $b = 0$ ) и тело обладает статической устойчивостью ( $a < 0$ ). Общее решение для угла нутации известно [3]. Воспользуемся им и запишем в виде [4, 5]:

$$\cos\theta = (u_2 - u_1)\operatorname{cn}^2[\beta t + K(k), k] + u_1 \quad (2.5)$$

$$\beta = \sqrt{-a(u_2 - u_3)/2}, \quad k = \sqrt{(u_2 - u_1)/(u_2 - u_3)}$$

где  $\operatorname{cn}$  – эллиптический косинус Якоби;  $K(k)$  – полный эллиптический интеграл I рода;  $u_1, u_2, u_3$  – корни кубического уравнения относительно  $u = \cos\theta$ , получаемого из интеграла энергии (2.3).

С помощью (2.5) решения для углов собственного вращения и прецессии может быть найдено путем взятия квадратур [6]:

$$\Phi - \Phi_0 = (1/\bar{I}_x - 1)Rt + [(R + G)\bar{I}_+ + (R - G)\bar{I}_-]/2 \quad (2.6)$$

$$\Psi - \Psi_0 = (1/\bar{I}_x - 1)Rt + [(R + G)\bar{I}_+ - (R - G)\bar{I}_-]/2 \quad (2.7)$$

$$\bar{I}_- = [\beta(u_1 - u_2)]^{-1} n_1 [\Pi(\xi, n_1, k) - \Pi(n_1, k)], \quad \bar{I}_+ = [\beta(u_1 - u_2)]^{-1} n_2 [\Pi(\xi, n_2, k) - \Pi(n_2, k)]$$

$$n_1 = (u_1 - u_2)/(1 - u_1), \quad n_2 = -(u_1 - u_2)/(1 + u_1), \quad \xi = \operatorname{am}(\beta t + K, k)$$

где  $\Pi(\xi, n, k)$ ,  $\Pi(n, k)$  – неполный и полный нормальные эллиптические интегралы третьего рода.

Если форма тела соответствует бигармоническому моменту (1.1), поиск аналогичных решений (2.5)–(2.7) усложняется. Вид решения зависит от знаков коэффициентов  $a, b$  и расположения соответствующих корней  $u_1, u_2, u_3, u_4$ . Решение для угла нутации для одного варианта знаков и расположения корней впервые было приведено в [7], а для всех возможных сочетаний было дано в [8] в виде

$$\cos\theta = L + M/[1 + N\operatorname{cn}^m(\beta t + \tau_0, k)] \quad (2.8)$$

Подробное описание значений коэффициентов, входящих в эту формулу, можно найти в [8]. Решения для углов собственного вращения и прецессий получены в работе [9].

**3. Возмущенное движение осесимметричного тела.** Пусть малая асимметрия отсутствуют ( $\Delta\xi = 0$ ), а на тело действуют восстанавливающий момент (1.1) и малый диссипативный момент. Возмущенная система (1.3) примет вид

$$\ddot{\theta} + F(\theta, z) = \varepsilon\Phi_\theta(\theta, z), \quad \dot{z} = \varepsilon\Phi_z(\theta, z) \quad (3.1)$$

Будем считать, что коэффициенты двучлена (1.1) известные функции скоростного напора, а проекции диссипативного (демпфирующего) момента пропорциональны соответствующим проекциям одноименных угловых скоростей:

$$m_x = \lambda \dot{\theta}\omega_x, \quad m_y = \kappa\omega_y, \quad m_z = \kappa\omega_z \quad (3.2)$$

где  $\kappa$  – малый коэффициент, определяющий интенсивность диссипации энергии.

В возмущенной системе (1.3) быстрые и медленные переменные разделены, однако она не отвечает стандартной форме вращательной системы. Заменим уравнение для угла нутации  $\theta$ , выбрав в качестве амплитуды интеграл энергии [10], предварительно записав его в виде:

$$E = (\bar{I}_x\omega_x^2 + \omega_y^2 + \omega_z^2)/2 - \int M_\theta(\theta, q)d\theta \quad (3.3)$$

Дифференцируя (3.3) по времени в силу действующих возмущений, получим систему, описывающую нутационное движение:

$$\dot{z} = \varepsilon\Phi_z(\theta, z) \quad (z = E, R, G, q) \quad (3.4)$$

Применив к системе (3.4) оператор усреднения вдоль порождающего решения (2.8), можно получить усредненную систему первого приближения следующего вида [8]:

$$\dot{z} = \varepsilon\langle\Phi_z(\theta, z)\rangle = Z(\langle\cos\theta\rangle, \langle\cos^2\theta\rangle, z) \quad (3.5)$$

где  $\langle\dots\rangle$  – оператор усреднения по мгновенному периоду колебаний угла нутации. Средние значения  $\langle\cos\theta\rangle$ ,  $\langle\cos^2\theta\rangle$  с помощью решения (2.8) вычисляются через полные эллиптические интегралы первого, второго и третьего рода.

Потенциальной энергии (2.4) отвечает фазовый портрет, который может содержать, например, две особые точки типа центр и одну – типа седло. В этом случае сепаратриса разбивает фазовую плоскость на три области: внешнюю и две внутренних. Под действием возмущений в процессе эволюции системы фазовая траектория, начавшись в одной из трех областей, может продолжаться в другой, пересекая при этом сепаратрису. Это характеризуется качественным изменением характера движения, в частности разрывом огибающей угла нутации.

**4. Канонические переменные действие–угол.** Весьма полезные результаты можно получить, изучая невозмущенное движение, если воспользоваться переменными действие–угол. Выбирая в качестве канонических переменных углы Эйлера и соответствующие им обобщенные импульсы  $(p_\psi, p_\theta, p_\phi)$ , запишем гамильтониан в виде [11]:

$$H = \frac{p_\phi^2 + p_\psi^2 - 2p_\phi p_\psi \cos\theta}{2A \sin^2\theta} + \frac{p_\phi^2}{2C} - \frac{p_\phi^2}{2A} + \frac{p_\theta^2}{2A} + A(a\cos\theta + b\cos^2\theta) = h \quad (4.1)$$

$$p_\phi = AR, \quad p_\psi = AG$$

где  $A = I$ ,  $C = I_x$  – экваториальный и продольный моменты инерции тела. Введем в рассмотрение переменные действия [12]:

$$I_1 = \frac{1}{2\pi} \oint p_\psi d\Psi = p_\psi, \quad I_2 = \frac{1}{2\pi} \oint p_\theta d\theta, \quad I_3 = \frac{1}{2\pi} \oint p_\phi d\phi = p_\phi \quad (4.2)$$

Нумерация действий выбрана согласно последовательности эйлеровых поворотов. Переменные  $\phi, \psi$  являются циклическими и соответствующие им импульсы и переменные действия являются первыми интегралами. Канонические уравнения для переменных действие-угол записутся в виде [12]:

$$\frac{dI_i}{dt} = \frac{\partial H}{\partial w_i} = 0, \quad \frac{dw_i}{dt} = \frac{\partial H}{\partial I_i} = \omega_i, \quad (i = 1, 2, 3) \quad (4.3)$$

Очевидно, что  $I_i = \text{const}_i$ , а частоты  $\omega_i = \omega_i(I_i)$  являются постоянными величинами и углы определяются простыми формулами:  $w_t = \omega_i t + w_{i0}$ . Импульс  $p_\theta$  определим из интеграла энергии (4.1), при этом сделаем замену переменных  $u = \cos \theta$ , тогда действие  $I_2$  примет вид:

$$I_2 = -\frac{1}{\pi} \int_{u_1}^{u_2} (1-u^2)^{-1} \sqrt{f(u)} du \quad (4.4)$$

$$f(u) = u^2 = 2A^2bu^4 + 2A^2au^3 - 2A^2b + 2Ah + \left(1 - \frac{A}{C}\right)I_3^2u^2 - \\ - 2(A^2a - I_1I_3)u + \left(2Ah - I_1^2 - \frac{A}{C}I_3^2\right) \quad (4.5)$$

$$u_1 = \cos \theta_{\min}, \quad u_2 = \cos \theta_{\max}$$

Интеграл (4.4) относится к классу эллиптических интегралов и, следовательно, приводится к сумме элементарных функций и трех нормальных эллиптических интегралов. Результат интегрирования зависит от типа корней полинома четвертой степени  $f(u)$  и может быть получен с помощью решения (2.8). Приведем решения для случая, когда полином (4.5) имеет все действительные корни

$$I_2 = \frac{\eta}{\pi} \left\{ \left[ h + \frac{(A^{-1} - C^{-1})I_3^2}{2} \right] K(k) - Aa[\lambda K(k) + v\Pi(n, k)] - \right. \\ - Ab \left[ \left( \lambda^2 - \frac{v^2}{2(1+n)} \right) K(k) + \left( \frac{v^2 n}{(2(1+n)(k^2+n)} \right) E(k) + \right. \\ \left. \left. + \left( \frac{v^2}{2} \left( \frac{n+2k^2}{k^2+n} + \frac{1}{1+n} \right) + 2\lambda v \right) \Pi(n, k) \right] \right\} - \frac{\eta}{2A\pi} \sum_{i=1}^2 d_i [\lambda_i K(k) + (v_i - \lambda_i) \Pi(n_i, k)] \\ k = [(u_3 - u_4)(u_2 - u_1)(u_3 - u_1)^{-1}(u_2 - u_4)^{-1}]^{1/2}, \quad n = (u_2 - u_1)/(u_1 - u_3), \quad v = (u_2 - u_3) \\ \lambda = u_3, \quad \eta = 4[-2b(u_1 - u_3)(u_2 - u_4)]^{-1/2}, \quad \lambda_{1,2} = (1 \mp u_3)^{-1}, \quad v_{1,2} = (1 \mp u_2)^{-1}$$

$$d_{1,2} = (I_3 \mp I_1)^2/2, \quad n_{1,2} = (u_2 - u_1)(1 \mp u_3)(u_1 - u_3)^{-1}(1 \mp u_2)^{-1}$$

где  $K(k)$ ,  $E(k)$ ,  $\Pi(n, k)$  – полные эллиптические интегралы I, II и III рода. Чтобы представить гамильтониан (4.1) в переменных действия  $H = H(I_1, I_2, I_3)$ , необходимо выразить постоянную  $h$  через переменные действия. Действия  $I_1$  и  $I_3$  есть постоянные числа (см. (4.2)), а действие  $I_2$  является функцией постоянной  $h$  и для однозначного разрешения его относительно постоянной  $h$  требуется, чтобы  $dI_2/dh \neq 0$ . В работе [11] показана

но, что эта производная строго положительна и уравнение (4.6) относительно  $h$  однозначно разрешимо. Для случая действительных корней полинома (4.5) частоты углов  $w_1, w_2, w_3$  определяются следующими формулами:

$$\omega_1 = \frac{1}{AK(k)} \sum_{i=1}^2 d_{i+2} [\lambda_i K(k) + (v_i - \lambda_i) \Pi(n_i, K)], \quad \omega_2 = \beta \frac{\pi}{K(k)}$$

$$\omega_3 = \frac{I_3}{C} - \frac{I_3}{A} + \frac{1}{AK(k)} \sum_{i=1}^2 (-1)^i d_{i+2} [\lambda_i K(k) + (v_i - \lambda_i) \Pi(n_i, k)]$$

$$d_{3,4} = (I_1 \mp I_3)/2, \quad \beta = \sqrt{-b(u_1 - u_3)(u_2 - u_4)/2}$$

Аналогичные решения могут быть получены и для случая, когда полином (4.5) имеет два действительных и два комплексных корня [11].

**5. Возмущенное движение тела с асимметрией. Резонансы.** Возмущенное движение будем рассматривать для асимметричных тел с синусоидальной зависимостью восстанавливающего момента от угла нутации ( $b = 0$  в (1.1)). Опустим в возмущенной системе (1.3) уравнение для угла прецессии  $\psi$ , поскольку правые части уравнений системы не зависят от  $\psi$ . В возмущенной системе (1.3) быстрые и медленные переменные разделены, однако она не отвечает стандартной форме вращательной системы. С помощью процедуры, предложенной в [10], заменим уравнение второго порядка для угла нутации  $\theta$  двумя уравнениями первого порядка для амплитуды  $x = u_1 = \cos \theta_{\max}$  и фазы  $y$ . Далее переменную  $\phi$  представим в виде суммы вековой и периодической составляющей:  $\phi = \bar{\phi} + \tilde{\phi}$ . В результате получим двухчастотную систему стандартного вида [4]:

$$\dot{y} = \omega(z) + \epsilon Y(y, \bar{\phi} + \tilde{\phi}(y, z), z), \quad \dot{\bar{\phi}} = \lambda(z)$$

$$\dot{z} = \epsilon \Phi_z(y, \bar{\phi} + \tilde{\phi}(y, z), z), \quad z = (x, R, G, q) \quad (5.1)$$

$$\lambda(z) = \frac{1}{2\pi} \int_0^{2\pi} \Phi_\phi(y, z) dy$$

где  $\lambda(z)$  – средняя частота собственного вращения.

Для построения системы (5.1) и нахождения периодической составляющей  $\tilde{\phi}(y, z)$  использовалось решение (2.5), записанное в виде:  $\cos \theta = A(x) \operatorname{cn}^2[yK/\pi + K, k] + x$  и решение для угла собственного вращения (2.6). Частоты быстрых переменных имеют вид

$$\omega = \pi \beta / (2K), \quad \lambda = (1/I_x - 1)R + [(R + G)n_1 \Pi(n_1, k) + (R - G)n_2 \Pi(n_2, k)] / (2AK) \quad (5.2)$$

Резонанс в стандартной двухчастотной системе (5.1) возможен, когда целочисленная комбинация частоты колебания угла нутации и средней частоты собственного вращения близка к нулю

$$m\omega(z) - n\lambda(z) = O(\epsilon) \quad (5.3)$$

где  $m, n$  – целые взаимно простые числа.

Для анализа движения в окрестности резонанса (5.3) удобно использовать систему маятникового типа [4], которая получается из (5.1) после замены  $\chi = my/n - \bar{\phi}$  и усреднения по быстрой переменной  $y$ :

$$d^2\chi/dt^2 + Q(\chi, z) = 0, \quad dz/dt = \mu f_z(\chi, z) \quad (5.4)$$

$$\begin{aligned} Q(\chi, z) = & -\left(\frac{m}{n} \frac{\partial \omega}{\partial z} - \frac{\partial \lambda}{\partial z}\right) f_z(\chi, z) = Q_0(z) + Q_1(z) \sin \chi + \\ & + Q_2(z) \cos \chi + Q_3(z) \sin 2\chi + Q_4(z) \cos 2\chi \end{aligned} \quad (5.5)$$

$$\mu = \sqrt{\epsilon}, \quad f_z(\chi, z) = \left\langle \Phi_z \left( y, \frac{m}{n}y - \chi + \tilde{\phi}(y, z), z \right) \right\rangle$$

где  $\tau = \mu t$  – “медленное” время,  $f_z(\chi, z)$  – средние по  $y$ .

Характер невозмущенного движения ( $\mu = 0$ ) системы (5.4) зависит от вида функции (5.5), которая в свою очередь определяется соотношением (1.4) в исходной системе (1.3). Фазовый портрет системы (5.4) состоит из нескольких областей колебательного и вращательного движений, разделенных сепаратрисой. В силу малых возмущений, действующих на систему, может происходить переход из одной области в другую, а также эволюция самих областей.

При отсутствии возмущений ( $\mu = 0$ ) система (5.4) имеет вид:

$$\frac{d^2\chi}{dt^2} + Q(\chi, z) = 0 \quad (5.6)$$

и допускает первый интеграл – интеграл энергии

$$(d\chi/dt)^2/2 + W(\chi, z) = E \quad (5.7)$$

$$W(\chi, z) = \int Q(\chi, z) d\chi \quad (5.8)$$

Стационарные точки системы (5.6) являются корнями уравнения

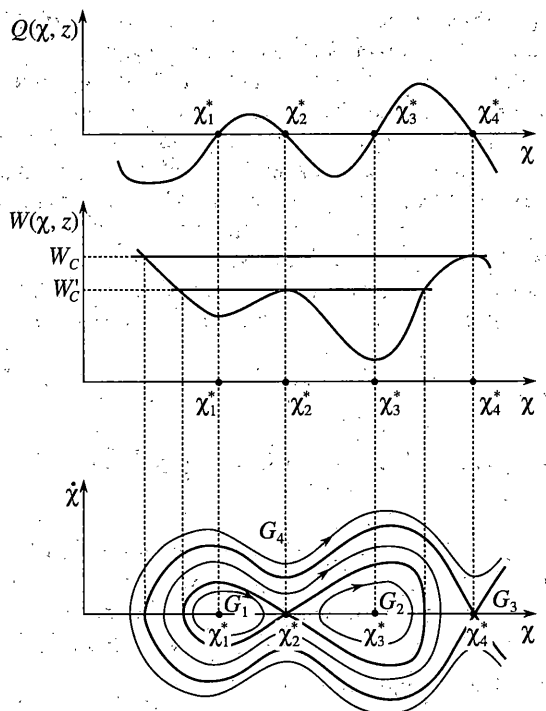
$$Q(\chi^*, z) = 0 \quad (5.9)$$

Действительные корни этого выражения существуют, если выполняется условие:

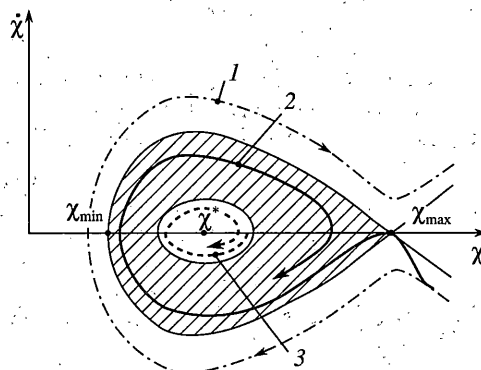
$$\max_{\chi} Q \leq 0 \quad (5.10)$$

В силу (5.5) может существовать четыре корня  $\chi = \chi_i^*$  ( $i = 1, \dots, 4$ ), удовлетворяющих уравнению (5.9). Устойчивое положение равновесия определяется условием  $(\partial Q / \partial \chi)_{\chi=\chi^*} > 0$ . Когда все коэффициенты  $Q_i(z)$  в формуле (5.5) отличны от нуля, потенциальная энергия (5.8) может иметь вид, показанный на фиг. 3. Внешняя сепаратриса отделяет область вращательных движений  $G_4$  от “большой” колебательной области  $G_3$ , которая охватывает две внутренние “малые” области колебательных движений  $G_1$  и  $G_2$ . Точки  $\chi_1^*$  и  $\chi_3^*$  – точки типа центр,  $\chi_2^*$  и  $\chi_4^*$  – точки типа седло. Если поперечные моменты инерции равны ( $I_y = I_z$ ), то два последних слагаемых в выражении (1.4), а следовательно и в формуле (5.5) обращаются в ноль ( $Q_3 = Q_4 = 0$ ). В этом случае одна из областей колебательного движения ( $G_1$  или  $G_2$ ), а также стационарная седловая точка  $\chi_2^*$  вырождаются.

При действия на систему (5.4) возмущений ( $\mu \neq 0$ ) траектории на фазовом портрете изменяются, а также происходит деформация сепаратрис. Возможны три характерных типа движения: прохождение через резонанс (1), которому отвечает изменение направления вращения маятниковой системы; захват в резонанс (2), когда возможен колебательный режим движения маятника и траектории находятся внутри сепаратрисы; движение в малой окрестности стационарной точки типа центр внутри (3) сепара-



Фиг. 3



Фиг. 4

трисы (фиг. 4). Рассмотренным типам движения, внутри колебательной области, можно поставить в соответствие два вида устойчивости: устойчивость маятника в колебательной области (устойчивость резонанса) и устойчивость в малой окрестности стационарной точки типа центр (устойчивость по Ляпунову).

Понятие устойчивости резонанса используется в практических задачах, связанных со спуском космических аппаратов в атмосферу [13]. Основу анализа устойчивости движения фазовой точки в колебательной области, когда при любых малых возмущениях фазовая точка всегда остается внутри этой области, составляет весьма простое положение: величина полной энергии системы  $E$ , на любом интервале врем-

мени, не должна превышать значения потенциальной энергии  $W_C$ , вычисленной в седловой точке. Для реализации устойчивого резонанса необходимо, чтобы на фазовой плоскости существовала колебательная область, и достаточно, чтобы производная по времени полной энергии системы  $dE/dt$  была меньше, чем производная по времени потенциальной энергии  $dW_C/dt$ , вычисленной в седловой точке. В этом случае колебательная область будет расширяться быстрее, чем фазовая траектория приближаться к границе области к сепаратрисе. Производная  $dE/dt$  показывает эволюцию фазовой траектории маятниковой системы (5.4), а производная  $dW_C/dt$  – эволюцию сепаратрисы под действием малых возмущений. Поскольку речь идет о колебательном движении системы, то об указанных производных можно говорить только в смысле их средних на периоде колебаний значений. Достаточное условие устойчивости резонанса имеет вид [13]:

$$\langle dW_C/dt \rangle - \langle dE/dt \rangle > 0$$

$$\langle dW_C/dt \rangle = \oint_l (\partial W_C / \partial z) f_z(\chi, z) d\tau, \quad \langle dE/dt \rangle = \oint_l (\partial E / \partial z) f_z(\chi, z) d\tau \quad (5.11)$$

Рассмотрим устойчивость в малой окрестности стационарной точки типа центр [14]. Преобразуем систему (5.4) к виду, удобному для проведения исследования устойчивости по Ляпунову, для этого сделаем замену переменных в окрестности устойчивой стационарной точки:  $\chi = \chi^* + \Delta\chi$ ,  $\rho = \rho_0 + \Delta\rho$  ( $\rho = \dot{\chi}$ ,  $\rho_0 = 0$ ) и разложим функцию  $Q(\chi, z)$  в точке  $\chi = \chi^*$  в ряд Тейлора. В результате получим:

$$\begin{aligned} d\Delta\chi/d\tau &= \Delta\rho + \mu G, \quad d\Delta\rho/d\tau = -\Omega^2 \Delta\chi + \mu P, \quad dz/d\tau = \mu f_z \\ \Omega^2 &= \left. \frac{\partial Q}{\partial \chi} \right|_{\chi=\chi^*} > 0, \quad G = \left( \frac{\partial Q}{\partial z} / \frac{\partial Q}{\partial \chi} \right)_{\chi=\chi^*} f_z(\chi^*, z) \end{aligned} \quad (5.12)$$

где  $P$  – функция, определяющая нелинейные члены разложения по переменной  $\Delta\chi$ .

Для построения функции Ляпунова в квазилинейной системе (5.12) удобно перейти к переменным амплитуда-фаза:  $\Delta\chi = A \cos \psi$ ,  $\Delta\rho = -A\Omega \sin \psi$ . После чего система (5.12) примет вид

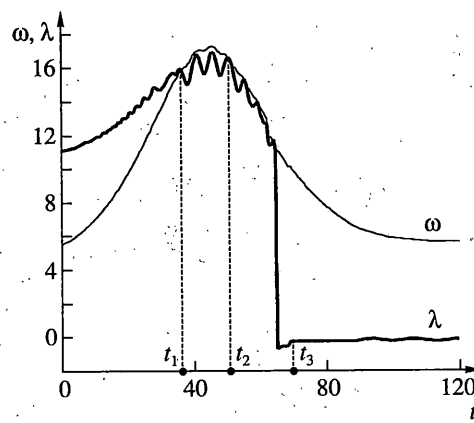
$$\begin{aligned} \frac{d\psi}{d\tau} &= \Omega - \frac{\Omega'}{\Omega} \sin \psi \cos \psi + \mu \left( -\frac{P}{A\Omega} \cos \psi - \frac{G}{A} \sin \psi \right) \\ \frac{dA}{d\tau} &= -A \frac{\Omega'}{\Omega} \sin^2 \psi + \mu \left( -\frac{P}{\Omega} \sin \psi + G \cos \psi \right), \quad \frac{dz}{d\tau} = \mu f_z \end{aligned} \quad (5.13)$$

где  $\Omega' = d\Omega/dt$  – имеет порядок малости  $\mu$ .

В качестве функции Ляпунова выбирается квадратичная форма амплитуды колебаний:  $V = A^2 = (\Delta\chi)^2 + (\Delta\rho)^2/\Omega^2$ . Эта функция является положительно-определенной и допускает по переменным  $\Delta\chi$  и  $\Delta\rho$  бесконечно-малый высший предел и удовлетворяет всем требованиям теоремы 3.1 из [15], согласно которой для устойчивости движения системы (5.11) в окрестности точки  $\Delta\chi = 0$ ,  $\Delta\rho = 0$  при действии возмущений достаточно потребовать выполнения следующего условия

$$A \langle dA/d\tau \rangle < 0 \quad (5.14)$$

Разложение функций  $P$  и  $G$  в ряд Тейлора в окрестности точки  $\Delta\chi = 0$  и усреднение второго уравнения системы (5.11) по переменной  $\psi$  позволяет переписать достаточное условие устойчивости (5.14) с точностью до членов порядка малости  $\mu^2$  в виде  $\Omega'/\Omega > 0$ .



Фиг. 5

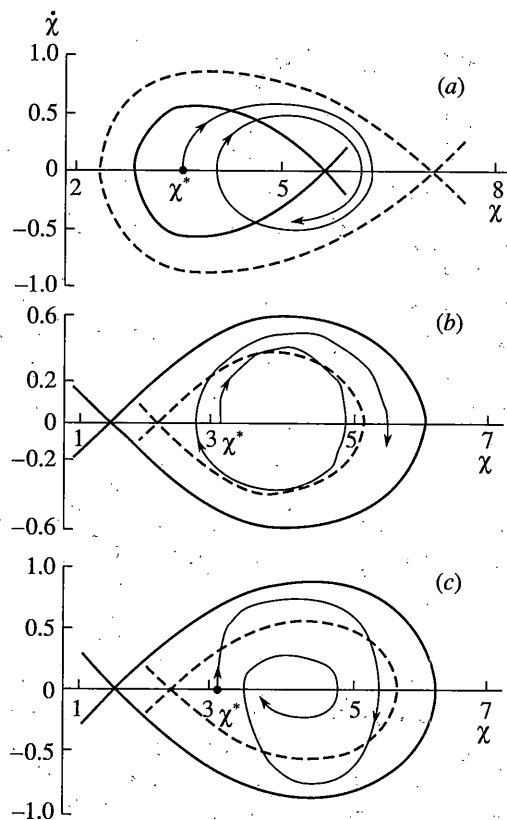
Выполняя соответствующие вычисления, можно записать окончательную форму достаточного условия устойчивости движения в окрестности стационарной точки в виде [14]:

$$\left( \frac{\partial^2 Q}{\partial \chi \partial z} - \frac{\partial^2 Q}{\partial \chi^2} \frac{\partial Q / \partial z}{\partial Q / \partial \chi} \right)_{\chi=\chi^*} f_z(\chi^*, z) > 0 \quad (5.15)$$

Следует отметить, что необходимые (5.10) и достаточные (5.11) условия устойчивости резонанса, а также достаточные условия устойчивости движения в окрестности стационарной точки (5.15) получены для общего нелинейного случая движения тела в сопротивляющейся среде и для любого типа резонанса (5.3). В [14] и [16] показано, что из условий (5.10) и (5.15) вытекают аналогичные условия, полученные другими авторами для более простых квазилинейных математических моделей движения тела.

**6. Пример.** На фиг. 5 показано изменение частот колебаний  $\omega(z)$  и  $\lambda(z)$  от времени  $t$ , для тела со следующими характеристиками:  $m = 200$  кг,  $I_x/I = 0.4$ ,  $\dot{z}_C = 0.002$ . При начальных условиях:  $\theta_0 = 47^\circ$ ,  $\phi_0 = 0^\circ$ ,  $R_0 = 4.18 \text{ c}^{-1}$ ,  $G_0 = 2.96 \text{ c}^{-1}$ .

В окрестности точек  $t_1$ ,  $t_2$  (резонанс  $m = n = 1$ ) и  $t_3$  (резонанс  $m = 0, n = 1$ ) тело захватывается в резонанс. Фазовые траектории, а также начальное и конечное положения сепаратрисы для всех трех резонансов показаны соответственно на фиг. 6, a, b, c. На этой фигуре тонкой сплошной линией изображена фазовая траектория. Толстой штриховой линией показано положение сепаратрисы в начальный момент времени, соответствующий захвату в резонанс. Толстой сплошной линией изображено конечное положение сепаратрисы. В моменты времени  $t_1$ ,  $t_2$ , и  $t_3$  вычислялось достаточное условие устойчивости резонанса (5.11) и достаточное условие устойчивости по Ляпунову (5.15). В точке  $t_1$  достаточное условие устойчивости (5.15) является истинным, однако не выполняется соотношение (5.11). Это означает, что с течением времени колебательная область сжимается, и фазовая траектория “выталкивается” во вращательную область (фиг. 6, a). В момент времени  $t_2$  достаточное условие (5.15) не выполняется, а неравенство (5.11) является истинным. Как видно из фиг. 6, b, с течением времени фазовая траектория покидает малую окрестность стационарной точки типа центр, но остается внутри сепаратрисы в пределах области колебательного движения. В точке  $t_3$  одновременно выполняется и неравенство (5.11) и достаточное условие (5.15), хотя меняется тип резонанса ( $m = 0, n = 1$ ). Это означает, что колеба-



Фиг. 6

тельная область расширяется, а фазовая траектория попадает в малую окрестность стационарной точки типа центр.

Численные расчеты показывают, что при анализе нелинейных резонансов следует проводить исследование устойчивости как самого резонанса, так и устойчивости по Ляпунову в окрестности стационарной точки, поскольку из устойчивости резонанса не следует устойчивости по Ляпунову и наоборот.

Важно отметить, что исследование возмущенного движения твердого тела под действием восстанавливающего момента остается весьма актуальной темой, что, например, отражается новыми публикациями [17].

Работа выполнена при поддержке Российского фонда фундаментальных исследований (проект 03-01-00151).

#### СПИСОК ЛИТЕРАТУРЫ

1. Ярошевский В.А. Движение неуправляемого тела в атмосфере. М.: Машиностроение, 1978. 167 с.
2. Аэродинамика ракет / Под ред. Краснова Н.Ф. М.: Высшая шк., 1968. 772 с.
3. Суслов Г.К. Теоретическая механика. М.; Л.: Гостехиздат, 1944. 655 с.
4. Асланов В.С. Нелинейные резонансы при неуправляемом спуске в атмосфере асимметричных КА // Космич. исследования. 1992. Т. 30. № 5. С. 608–614.
5. Асланов В.С. О вращательном движении баллистического осесимметричного аппарата при спуске в атмосфере // Космич. исследования. 1976. Т. 14. № 4. С. 491–497.

6. Асланов В.С. Определение амплитуды пространственных колебаний баллистического аппарата с малой асимметрией при спуске в атмосфере // Космич. исследования. 1980. Т. 18. № 2. С. 178–184.
7. Асланов В.С., Бойко В.В. Нелинейное резонансное движение асимметричного космического аппарата в атмосфере // Космич. исследования. 1985. Т. 23. № 3. С. 408–415.
8. Асланов В.С., Серов В.М. Вращательное движение осесимметричного твердого тела с би-гармонической характеристикой восстанавливющего момента // Изв. РАН. МТТ. 1995. № 3. С. 19–25.
9. Серов В.М. Вращательное движение динамически симметричного твердого тела под действием нелинейного момента // Изв. АН СССР. МТТ. 1991. № 5. С. 26–31.
10. Волосов В.М. Некоторые виды расчетов в теории нелинейных колебаний, связанных с усреднением // Ж. вычисл. математики и мат. физики. 1963. Т. 3. № 1. С. 3–53.
11. Асланов В.С., Тимбай И.А. Движение твердого тела в обобщенном случае Лагранжа. Самара: Изд-во СГАУ, 2001: 58 с.
12. Ландau Л.Д., Лифшиц Е.М. Теоретическая физика. Т. 1. Механика. М.: Наука, 1988. 215 с.
13. Асланов В.С., Мясников С.В. Устойчивость нелинейных резонансных режимов движения космического аппарата в атмосфере // Космич. исследования. 1996. Т. 34. № 6. С. 626–632.
14. Асланов В.С., Мясников С.В. Анализ нелинейных резонансов при спуске космического аппарата в атмосферу // Космич. исследования. 1997. Т. 35. № 6. С. 659–665.
15. Хапаев М.М. Асимптотические методы и устойчивость в теории нелинейных колебаний. М.: Высш. шк., 1988: 184 с.
16. Асланов В.С. Два вида нелинейного резонансного движения асимметричного КА в атмосфере // Космич. исследования. 1988. Т. 26. № 2. С. 220–226.
17. Акуленко Л.Д., Козаченко Т.А., Лещенко Д.Д. Возмущенные вращательные движения твердого тела под действием нестационарного восстанавливющего момента, зависящего от угла нутации // Механика твердого тела. Донецк: Институт прикл. мат. и мех. НАН Украины, 2001. Вып. 31. С. 57–62.

Самара

Поступила в редакцию

8.04.2003